

مجله علوم آماری، پاییز و زمستان ۱۳۹۵

جلد ۱۰، شماره ۲، ص ۳۲۷-۳۱۷

DOI: 10.18869/acadpub.jss.10.2.317

استنباط آماری در فرایند حرکت براونی کسری

میثم مقیم بیگی

گروه آمار، دانشگاه تربیت مدرس

تاریخ دریافت: ۱۳۹۳/۱۱/۱۴ تاریخ آخرین بازنگری: ۱۳۹۵/۱/۲۸

چکیده: تحلیل آماری فرایند حرکت براونی کسری یکی از موضوعات مهم در مبحث فرایندهای تصادفی است. مهم‌ترین مسئله در بررسی این فرایند، استنباط آماری در مورد پارامتر هرست حرکت براونی کسری است. یکی از روش‌های برآوردهای پارامتر مورد اشاره استفاده از روش برآوردهای ماکسیمم درستنمازی است. به دلیل پیچیدگی‌های محاسباتی مرتضی با این روش در ارائه جواب بسته، معنی می‌شود پارامتر هرست به کمک روش‌های عددی برآورده شود. نتایج نظری مقاله، در قالب مطالعه شبیه‌سازی برای حالات متفاوت نیز مورد بررسی قرار می‌گیرد.

واژه‌های کلیدی: پارامتر هرست، حرکت براونی کسری، ماکسیمم درستنمازی.

۱ مقدمه

در بسیاری از نوشتگان، حرکت براونی کسری مخصوصاً کارهای مندلبرات و وننس (۱۹۶۸) معرفی شده است اما باید گفت که این فرایند در ابتدا به وسیله کولموگروف (۱۹۴۰) در تولید مارپیچ‌های گاوسی در فضای هیلبرت به کار رفته بود. پس از

آدرس الکترونیک مسئول مقاله: meisam.moghimbeygi@modares.ac.ir

کد موضوع بنای ریاضی (۲۰۱۰): ۶۲۴۰۹

۳۱۸ استنباط آماری در فرایند حرکت براونی کسری

معترضی حرکت براونی کسری به وسیله مندلبرات و ون نس (۱۹۶۸)، این فرایند به سرعت تبدیل به یکی از مسائل محبوب در میان نوشتگان به منظور بررسی پدیده‌های خودمشابه شد. حرکت براونی کسری کاربردهای زیادی نیز پیدا کرد که از جمله می‌توان به مطالعات بران (۱۹۹۴) در آب‌شناسی، کولیزن و دلوکا (۱۹۹۴) در زیست‌شناسی، فریش (۱۹۹۵) در زمین‌شناسی و پلتیر (۱۹۹۸) در اقتصاد اشاره کرد. فرایند حرکت براونی کسری را با $B_H(t)$ نشان می‌دهند. این فرایند در واقع یک فرایند گاوی مركزی با مسیرهای پیوسته و تابع کوواریانس

$$R(t, s) = \frac{\sigma^2}{2} (|t|^{2H} + |s|^{2H} - |t-s|^{2H})$$

است، که در آن σ پارامتر مقیاس بوده و معمولاً برابر ۱ در نظر گرفته می‌شود. پارامتر این فرایند را به احترام هرست^۱ با $H < 1 < H < 0$ نشان می‌دهند. در حالت خاص $H = 1/2$ حرکت براونی کسری تبدیل به فرایند حرکت براونی استاندارد می‌شود. در حالت کلی فرایند حرکت براونی کسری دارای ویژگی خودمشابه است یعنی برای هر $a > 0$ داریم، $(B_H(at))_{t \in R} = a^H (B_H(t))_{t \in R}$. همچنین تابع اتوکوواریانس این فرایند رفتاری از مرتبه $O(|n|^{2H-1})$ برای $n \rightarrow \infty$ دارد. بنابراین نموهای فرایند حرکت براونی کسری دارای وابستگی دور برد برای $H < 1/2$ هستند. از آنجایی که رفتار این فرایند برای $1/2 < H < 1/2$ متفاوت است، در بسیاری از نوشتگان روش‌های متفاوتی را نیز برای بررسی این فرایند معرفی کرده‌اند. همچنین نمایه H نمایانگر میزان همواری مسیر فرایند است به طوری که بعد برخال حرکت براونی کسری برابر با $D = 2 - H$ است. با توجه به ارتباط بعد برخال فرایند حرکت براونی کسری و همچنین همواری مسیر این فرایند با پارامتر هرست، برآورد این پارامتر از اهمیت ویژه‌ای برخوردار است. مطالعات بسیاری در این حوزه انجام گرفته است که از جمله می‌توان به بران (۱۹۹۴)، کورجولی (۲۰۰۱) و دو خان و همکاران (۲۰۰۳) اشاره کرد.

یکی از روش‌های معمول در برآوردهایی، روش ماکسیمم درستنمایی است. در بخش ۲ به تشریح این روش به منظور برآورد پارامتر هرست پرداخته و در بخش ۳

^۱ Hurst

برآورده از پارامتر هرست با استفاده از روش‌های عددی معروفی می‌کنیم. مقایسه روش ارائه شده با دو روش متداول برآورد پارامتر هرست نیز در بخش ۳ مورد بررسی قرار خواهد گرفت.

۲ برآورد ماکسیمم درستنما

به منظور برآورد ماکسیمم درستنما بی پارامتر هرست فرایند حرکت براونی کسری، فرض کنید t_1, \dots, t_m نقاط گستته‌ای که لزوماً هم فاصله نیستند از بازه $[1, 5]$ باشند. بنابراین $\underline{B}_H = (B_H(t_1), \dots, B_H(t_m))$ برداری تصادفی از توزیع گاووسی متغیره با بردار میانگین صفر و ماتریس کوواریانس $\Sigma_H = (R_{ij})_{1 \leq i, j \leq m}$ است، که در آن

$$R_{ij} = \frac{1}{\gamma} (|t_i|^{\gamma H} + |t_j|^{\gamma H} - |t_i - t_j|^{\gamma H}).$$

با در نظر گرفتنتابع درستنما به صورت

$$L(H) = \frac{1}{(2\pi)^{m/2}} \det(\Sigma_H)^{-1/2} \exp(-\frac{1}{\gamma} \underline{B}_H^T \Sigma_H^{-1} \underline{B}_H)$$

برآورده گر ماکسیمم درستنما H_m به صورت

$$\hat{H}_m = \arg \max \left(-\frac{1}{\gamma} [\log |\det(\Sigma_H)| + \underline{B}_H^T \Sigma_H^{-1} \underline{B}_H] \right), \quad (1)$$

به دست می‌آید، یا می‌توان آنرا از برابری

$$\frac{d}{dH} \log |\det(\Sigma_H)| + \underline{B}_H^T \frac{d}{dH} \Sigma_H^{-1} \underline{B}_H = 0,$$

به دست آورد. انجام محاسبات بالا تحت تأثیر دو مسئله مهم است. اولاً برآورده H با استفاده از Σ_H^{-1} و $\log |\det(\Sigma_H)|$ بسیار کند و هزینه بر است و ثانیاً Σ_H به شدت شرطی است (کورجولی، ۲۰۰۰). برای غلبه بر این مسئله بران (۱۹۹۴) با استفاده از تابع درستنما بی تقریبی به برآورده پارامتر هرست حرکت براونی کسری پرداخت.

۳۲۰ استنباط آماری در فرایند حرکت براونی کسری

این برآوردهگر به برآوردهگر ویتل^۲ معروف و به صورت

$$\hat{H}_m = \arg \min \sum_{j=1}^m \frac{I_N(\lambda_j, m)}{f(\lambda_{j,m}(1, H))}$$

است، که در آن $f(1, H)$ تابع چگالی طیفی نمودهای حرکت براونی کسری با پارامتر $(1, H)$ و $I_m(\lambda)$ دوره‌نگار تجربی است. او نشان داد که $\hat{H}_m \xrightarrow{a.s.} H$ دارای توزیع نرمال مجانبی به صورت

$$\sqrt{m}(\hat{H}_m - H) \xrightarrow{d} N(0, 2D^{-1})$$

است، که در آن

$$D = \frac{1}{2\pi} \int_{-\pi}^{\pi} \left\{ \frac{d}{dH} \log f(x, \theta) \right\}^2 dx.$$

با در نظر گرفتن این برآورد باید گفت که برآوردهگر ویتل از دو مسئله رنج می‌برد، به کندی قابل اجراست و همچنین یک برآوردهگر اریب است (کورجولی، ۲۰۰۰). از طرفی برآوردهگر ویتل نشان می‌دهد که برای M ‌های بزرگ برآوردهگر ماکسیمم درستنمایی به دست آمده دارای توزیع نرمال مجانبی است. با این وجود در عمل فرم بسته‌ای برای برآوردهگر پارامتر H به روش ماکسیمم درستنمایی وجود ندارد. یکی از راه‌های پیشنهادی استفاده از روش‌های عددی است که در بخش ۳ یکی از این روش‌ها را مورد بررسی قرار می‌دهیم.

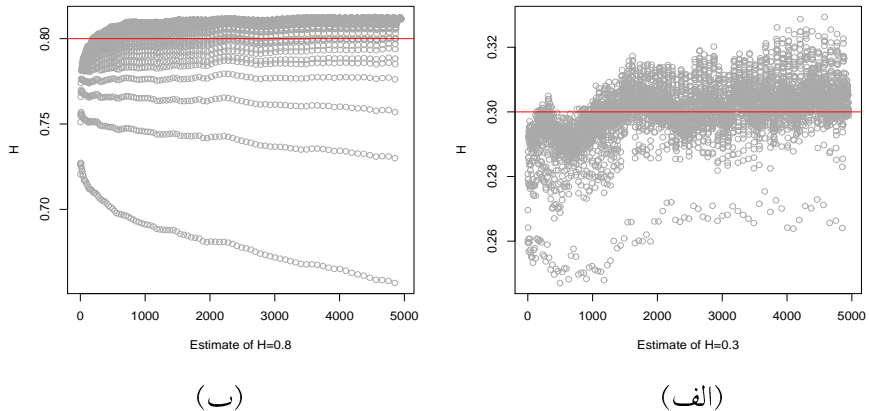
۳ برآوردهگر ماکسیمم درستنمایی تقریبی

یکی از پارامترهایی که می‌تواند در برآوردهگر پارامتر هرست راه‌گشا باشد ماتریس کوواریانس حرکت براونی کسری در زمان‌های مختلف است. در این مقاله با در نظر گرفتن ماتریس کوواریانس نمونه‌ای S به عنوان برآوردهگر ماتریس کوواریانس Σ_H به دنبال برآوردهگر پارامتر هرست فرایند حرکت براونی کسری هستیم. یعنی با در نظر گرفتن برابری $S/n = (n-1)\hat{S}$ به دنبال برآوردهگر پارامتر H هستیم. از آنجاییکه

^۲ Whittle

ماتریس Σ_H فرم پیچیده‌ای دارد، نمی‌توان آن را به عنوان تابع مشخصی از H نشان داد. بنابراین قصد داریم با ایجاد یک تناظر یک به میان درایه‌های ماتریس Σ_H و مقادیر H را با استفاده از روش‌های عددی موجود در نرم افزارهای کامپیوتری برآورد کنیم. در این مقاله استفاده از بسته dvfBm در نرم افزار R به منظور شبیه‌سازی حرکت براونی کسری و همچنین روش‌های برآورد ارائه شده در این بسته مورد توجه است. بهوضوح هر تناظر میان درایه‌های ماتریس کوواریانس نمونه‌ای و نظری موجب برآورد یک مقدار \hat{H}_{ij} می‌شود و ممکن است این مقادیر از \hat{H}_{ij} ها با یکدیگر یکسان نباشند. ارائه یک تابع مناسب براساس \hat{H}_{ij} ها هدف اصلی این مقاله است.

با توجه به اینکه برای M ‌های بزرگ H_m دارای توزیع نرمال با میانگین H است و با در نظر گرفتن قانون قوی اعداد بزرگ انتظار داریم میانگین \hat{H}_{ij} ها برآورد گر مناسبی برای پارامتر H باشد. با شبیه‌سازی 50 مسیر حرکت براونی کسری با پارامتر $H = 0/8$ و $H = 0/3$ در 50 زمان مختلف در بازه $(1, 10)$ ماتریس کوواریانس نمونه‌ای به دست آورده می‌شود. با ایجاد تناظر میان درایه‌های ماتریس کوواریانس نمونه‌ای و نظری پارامتر H می‌شود برآورد می‌پردازیم که نمونه‌ای از آن در شکل ۱ ارائه شده است. نقاط خاکستری برآوردهای حاصل از تناظر قطره‌های اصلی و مثلث



شکل ۱: برآورد \hat{H}_{ij} ‌ها برای الف- $H = 0/8$ و ب- $H = 0/3$

بالایی دو ماتریس کوواریانس نظری و نمونه‌ای است. همانگونه که مشخص است با افزایش زمان t و s در ماتریس کوواریانس برآوردها نیز تغییرات چشمگیری پیدا می‌کنند. به‌منظور روشن‌تر شدن مسئله، حرکت براونی کسری را ۱۰۰ بار در ۱۰۰ زمان مختلف در بازه $(1, 5)$ شبیه‌سازی می‌کنیم. مقادیر تابع کواریانس نظری را نیز در نقاط زمانی مورد نظر به‌دست آورده و اختلاف دوتابع کواریانس نظری و نمونه‌ای را به‌دست می‌آوریم. اختلاف بین دوتابع کواریانس نمونه‌ای و نظری برای H ‌های مختلف در زمان $(1, 5) \in t, s$ در شکل ۲ نشان داده شده است. همین‌طور که ملاحظه می‌شود با افزایش پارامتر H و زمان t و s مقادیر کواریانس نظری و نمونه‌ای اختلاف بیشتری خواهند داشت. این اختلاف از تیره‌تر شدن رنگ تصاویر ارائه شده نمایان است. بنابراین به‌منظور بهبود برآوردهای پیشنهادی، کافی است \hat{H}_{ij} ‌های برآورده شده در زمان‌های نزدیکتر به صفر برای ارائه برآوردهای پارامتر H در نظر گرفته می‌شود. به بیان ساده‌تر کافی است از \hat{H}_{ij} ‌ها برای $i \leq j$ و j ‌های کوچکتر، به‌طور مثال $\alpha \leq i, j$ به‌منظور برآوردهایی استفاده شود.

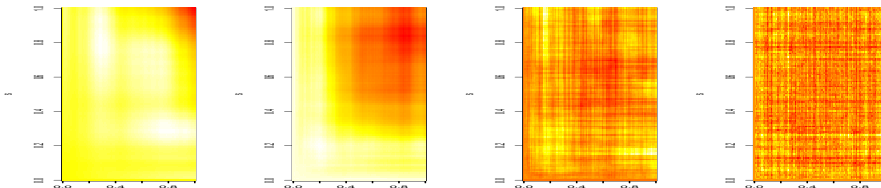
با توجه به شکل ۲ و عملکرد یکسان کواریانس‌ها و واریانس‌ها در زمان‌های ابتدایی، یکی از برآوردهای پیشنهادی استفاده از واریانس‌ها در زمان‌های اولیه است. بنابراین یکی از برآوردهای اولیه می‌تواند، برآورده به‌دست آمده از واریانس‌ها باشد. به‌همین منظور با توجه به اینکه $R_{ii} = t_i^{2H}$, با در نظر گرفتن تناظر $\hat{R}_{ii} = s_{ii}$ و با استفاده از حاصل ضرب واریانس‌های نظری و نمونه‌ای $\prod_{i=1}^{\alpha} t_i^{2\hat{H}} = \prod_{i=1}^{\alpha} s_{ii}$ ،

داریم

$$\hat{H} = \frac{\sum_{i=1}^{\alpha} \log s_{ii}}{2 \sum_{i=1}^{\alpha} \log t_i}.$$

از آنجایی که \hat{H}_{ij} ‌ها به روش‌های عددی به‌دست می‌آیند، ممکن است حافظ دامنه نباشند بنابراین می‌توان از برآوردهای محدود استفاده کرد.

لم ۱ : (لی من و کسل، ۲۰۰۳) اگر برد تابع برآورده شونده $g(\theta)$ بازه‌ای به‌شکل $[a, b]$ باشد، آن‌گاه هر برآوردهای δ که مقادیر خارج از بازه‌ی $[a, b]$ را با احتمال مثبت



شکل ۲: ماتریس تصویر تفاوت میان ماتریس کوواریانس نظری و نمونه‌ای، از راست به چپ برای $H = 0/05$, $H = 0/3$, $H = 0/8$ و $H = 0/95$

اختیار کند، دارای ریسک بیشتری از برآوردهای مقید زیر است:

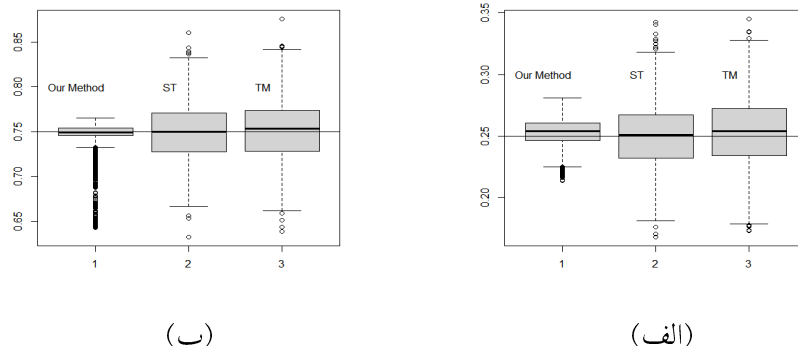
$$\delta^* = \begin{cases} a & \delta \leq a \\ \delta & a < \delta < b \\ b & \delta \geq b \end{cases}$$

با توجه به لم ۱ و به منظور افزایش دقت برآوردهای می‌توان از $\hat{H}_{ij} \geq 1$ و $\hat{H}_{ij} \leq 0$ صرفه نظر کرد. در این مقاله بر اساس \hat{H}_{ij} ها، دو برآوردهای \hat{H} و میانگین \hat{H}_{ij} ها را برای $\alpha < 1 < j < i$ معرفی می‌شود. توجه داریم که در روش ما ماتریس کوواریانس نمونه‌ای نقشی کلیدی دارد و برای به دست آوردن این ماتریس نیاز به حداقل دو مسیر مستقل از فرایند حرکت براونی کسری است. بنابراین با در نظر گرفتن m مسیر نمونه‌ای از حرکت براونی کسری تنها می‌توان یک برآورد \hat{H} معرفی کرد. لذا در این مقاله برآوردهای \hat{H} تنها معرفی شده و مورد تحلیل قرار نمی‌گیرد.

شن و همکاران (۲۰۰۷) و کورجولی (۲۰۰۸) روش‌هایی را بر اساس چارک‌ها ارائه داده‌اند که دو روش با عملکرد مناسب را انتخاب می‌کنیم. این دو روش در منابع یاد شده با نمادهای ST و TM نشان داده شده‌اند. جدول ۱ و شکل ۳ بر اساس ۱۰۰۰ بار شبیه‌سازی از حرکت براونی کسری در ۱۰۰۰ زمان هم‌فاصله در بازه $(0, 1)$ و برآوردهای \hat{H}_{ij} برای $\alpha = 0.00$ به دست آمده است. با توجه به جدول ۱ و شکل ۳ میانگین برآوردها تقریباً با یکدیگر برابر است. اما در مورد انحراف معیارها برآوردهای \hat{H} تقریباً در تمام سطوح داری انحراف معیار کمتری از برآوردهای دیگر است. همچنین نمودار جعبه‌ای ۳ نشان می‌دهد که برآوردهای ما همچنان از وجود

جدول ۱: برآورد پارامتر H

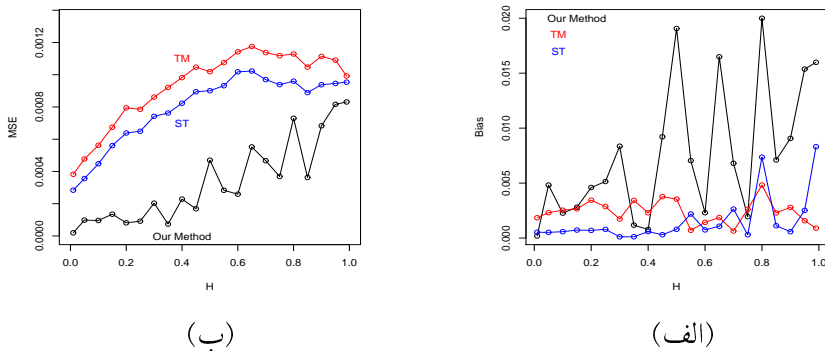
TM(SD)	ST(SD)	\bar{H} (SD)	\hat{H}	H
۰/۰۵۲(۰/۰۲۱)	۰/۰۴۹(۰/۰۱۸)	۰/۰۵۷(۰/۰۲۲)	۰/۰۵۶	۰/۰۵
۰/۱۰۳(۰/۰۲۳)	۰/۱۰۰(۰/۰۲۲)	۰/۱۰۱(۰/۰۱۰)	۰/۱۰۰	۰/۱۰
۰/۳۰۳(۰/۰۲۸)	۰/۳۰۰(۰/۰۲۷)	۰/۳۰۰(۰/۰۱۱)	۰/۲۹۶	۰/۳۰
۰/۵۰۲(۰/۰۲۲)	۰/۴۹۹(۰/۰۳۰)	۰/۴۹۸(۰/۰۱۳)	۰/۴۹۶	۰/۵۰
۰/۷۰۲(۰/۰۲۳)	۰/۷۹۹(۰/۰۳۱)	۰/۷۹۱(۰/۰۱۸)	۰/۷۹۲	۰/۷۰
۰/۹۰۳(۰/۰۲۳)	۰/۸۹۹(۰/۰۳۱)	۰/۸۹۰(۰/۰۲۴)	۰/۸۹۲	۰/۹۰
۰/۹۵۲(۰/۰۲۴)	۰/۹۴۸(۰/۰۳۱)	۰/۹۳۶(۰/۰۲۲)	۰/۹۳۹	۰/۹۵



شکل ۳: برآورد H برای الف-۰/۲۵ و ب-۰/۷۵ به ترتیب از راست به چپ با روش‌های ST، TM و برآوردهای \hat{H}_{ij} روش ما

های دور افتاده رنج می‌برد.

به منظور تحلیل دقیق‌تری از برآوردهای معرفی شده، میانگین توان دوم خطای برآوردها به دست آورده می‌شود. شکل ۴ مقدار اریبی و میانگین توان دوم خطای برآوردها را برای H های مختلف نشان می‌دهد. نمودار ۴-ب نشان از عملکرد خوب برآورد \bar{H} از نظر میانگین توان دوم خطای نسبت به دو برآورد دیگر دارد. همچنین نمودار ۴-الف نشان می‌دهد که برآوردهای \bar{H} دارای میزان اریبی بیشتری از دو برآورد دیگر است که با افزایش پارامتر H این اریبی نیز افزایش می‌یابد. این مسئله را می‌توان ناشی از افزایش وجود \hat{H}_{ij} های دور افتاده با افزایش پارامتر H



شکل ۴: نمودارهای الف- اریبی و ب- میانگین توان دوم خطاهای برای سه برآوردگر \bar{H} ، TM، ST و Our Method

دانست که این افزایش با توجه به شکل ۲ و ۳ قابل پیش‌بینی بود.

بحث و نتیجه‌گیری

معیار میانگین توان دوم خطایکی از معیارهای مناسب برای مقایسه‌ی برآوردهای است. براساس این معیار برآوردهای معرفی شده دارای میانگین توان دوم خطای کمتری نسبت به دو برآوردهای دیگر است. با درنظر گرفتن برآوردهای ارائه شده به نظر می‌رسد که روش پیشنهادی ما نسبت به دو روش دیگر عملکرد مناسب‌تری داشته باشد. هرچند نقاط ضعفی نیز وجود دارد که از جمله می‌توان به وابستگی این روش به میزان α اشاره کرد. با توجه به شکل‌های ۳ و ۴ با افزایش H شاهد افزایش واریانس و همچنین تعداد برآوردهای دور افتاده هستیم. به منظور بهبود برآوردهای برای H ‌های بزرگتر، می‌توان از α ‌های کوچکتر استفاده نمود. یکی دیگر از مسائلی که باید به آن توجه داشت، داشتن حداقل دو مسیر مستقل از یک فرایند حرکت برآونی کسری برای برآورد پارامتر فرایند است. البته میدان‌های تصادفی با این ویژگی‌ها نیز وجود دارد که می‌توان با ایجاد برش‌های مناسب، نمونه‌های مورد نظر را به‌دست آورد. برخی از این میدان‌های تصادفی توسط ژیا او و ژانگ (۲۰۰۲) مورد مطالعه قرار گرفته‌اند.

مراجع

- Beran, J. (1994), *Statistics for Long-Memory Processes*, CRC Press, Florida.
- Coeurjolly, J. F. (2000), Simulation and Identification of the Fractional Brownian Motion: a Bibliographical and Comparative Study, *Journal of Statistical Software*, **5**, 1-53.
- Coeurjolly, J. F. (2001), Estimating the Parameters of a Fractional Brownian Motion by Discrete Variations of its Sample Paths, *Statistical Inference for Stochastic Processes*, **4**, 199-227.
- Coeurjolly, J. F. (2008), Hurst Exponent Estimation of Locally Self-Similar Gaussian Processes Using Sample Quantiles, *Annals of Statistics*, **36**, 1404-1434.
- Collins J, J. and De Luca C, J.(1994), Upright, Correlated Random Walks: A Statistical-Biomechanics Approach to the Human Postural Control System, *Chaos*, **5**, 57-63.
- Doukhan, P., Oppenheim, G. and Taqqu, M. S. (2003), *Theory and Applications of Long-Range Dependence*, Springer, Science and Business Media.
- Frisch, U. (1995), *Turbulence*, Cambridge University Press, New York.
- Kolmogorov, A. (1940), Wienersche Spiralen und Einige Andere Interessante Kurven im Hilbertschen Raum, *C. R. Academy of Sciences, URSS*, **83**, 115-118.
- Lehmann, E. L. and Casella, G. (2003), *Theory of Point Estimation*, Springer, New York.

مېش مېقىم بىگى

٣٢٧.....
Mandelbrot, B, B. and Van Ness, J. (1968), Fractional Brownian Motion,
Fractional Noises and Applicatios, *SIAM Review*, **10**, 422-437.

Peltier R, F. (1998), Processus Stochastiques Fractals Avec Applications
en Finance, *These de Doctoral, University Paris VI*.

Shen H., Zhu, Z. and Lee, T, C, M. (2007), Robust Estimation of the Self-Similarity Parameter in Network Traffic Using Wavelet Transform,
Signal Process, **87**, 2111-2124.

Xiao, Y., and Zhang, T. (2002), Local Times of Fractional Brownian Sheets, *Probability Theory and Related Fields*, **124**, 204-226.